

ПЕРЕХОД МЕТАЛЛ-ДИЭЛЕКТРИК  
В ТВЕРДЫХ РАСТВОРАХ  $Pb_{1-x}Mn_xTe(In)$

Акимов Б. А., Никорич А. В., Рябова Л. И., Широкова Н. А.

Исследованы гальваномагнитные и фотоэлектрические эффекты в сплавах  $Pb_{1-x}Mn_xTe$ , содержащих 0.5–1 ат% In при  $x \leq 0.12$ . Найдено, что с ростом содержания Mn стабилизированный уровень Ферми опускается из зоны проводимости в запрещенную зону. Переход металл–диэлектрик происходит при  $x \sim 0.05$ . С дальнейшим ростом  $x$  энергия активации проводимости увеличивается до  $\sim 200$  мэВ при  $x \sim 0.12$ . Установлено, что в области температур  $T < T_c \sim 20$  К исследованные образцы обладают задержанной фотопроводимостью. Температура  $T_c$  не зависит от содержания Mn, а времена релаксации неравновесных состояний убывают с ростом  $x$ .

Одно из основных свойств PbTe, легированного In, проявляется в эффекте стабилизации уровня Ферми при достаточно высоком содержании индия  $C_{In} > 0.5$  ат% [1]. Уровень стабилизации  $\epsilon_F$  в PbTe при 4.2 К расположен на  $\sim 70$  мэВ выше дна зоны проводимости. Известно, что он может быть смещен в запрещенную зону при замене части Pb на Sn (что сопровождается уменьшением щели  $\epsilon_g$  [1, 2]) или Ge (что сопровождается увеличением щели  $\epsilon_g$  и фазовым переходом с понижением температуры [1, 3]). Настоящая работа посвящена исследованию твердых растворов  $Pb_{1-x}Mn_xTe$ , легированных In.

Интерес к выбранным соединениям, с нашей точки зрения, обусловлен несколькими причинами. Сплавы  $Pb_{1-x}Mn_xTe$  являются недостаточно изученными узкощелевыми полумагнитными полупроводниками (см. работы [4–8] и ссылки в них). Количественная и пространственная стабилизация энергии Ферми  $\epsilon_F$  в PbTe(In) приводит к повышенной однородности свойств монокристаллов, и в них наблюдаются осцилляции Шубникова—де-Гааза (ШГ) с ярко выраженным спиновым расщеплением уровней Ландау [1]. Можно ожидать, что использование этого эффекта в  $Pb_{1-x}Mn_xTe(In)$  будет информативным [4] и позволит выявить слабое [8] взаимодействие электронов проводимости с магнитными моментами Mn. С ростом  $x$  щель  $\epsilon_g$  в  $Pb_{1-x}Mn_xTe$  намного увеличивается [6, 7], что может приводить к смещению уровня стабилизации  $\epsilon_F$  в запрещенную зону. В этом случае возникает новая возможность определять движение последних уровней Ландау в полумагнитном полупроводнике по изменению энергии активации проводимости в магнитном поле. Наконец, представляется важным определить изменения характеристик фотопроводимости (ФП) соединений на основе PbTe(In) [9].

В настоящей работе исследованы гальваномагнитные, осцилляционные и фотоэлектрические явления в твердых растворах  $Pb_{1-x}Mn_xTe$  (In) при  $x \leq 0.12$  с целью определения общих качественных изменений свойств рассматриваемых соединений.

И с с л е д о в а н н ы е о б р а з ы

Монокристаллы  $Pb_{1-x}Mn_xTe$  (In) были выращены методом Бриджмена<sup>Ч</sup> из особо чистых элементов, взятых в стехиометрическом соотношении. Легирующая примесь In в количестве 0.5 и 1 ат% вводилась при синтезе. Скорость роста 1 мм/ч при градиенте температур на фронте кристаллизации  $\sim 15$  град/см.

Количество Mn в контрольных образцах определялось химическими аналитическими методами. Как установлено, распределение состава вдоль слитка составляет  $\sim 1.5$  мол % MnTe на 1 см длины, что совпадает с данными работы [5] для нелегированных сплавов Pb<sub>1-x</sub>Mn<sub>x</sub>Te. Например, в слитке с  $x \sim 0.1$  по навеске реальное содержание теллурида марганца  $C_{\text{MnTe}}$  меняется от 8 в начале до 11.5 мол % в конце слитка. Таким образом, в кристаллах, выращенных из шихты с разницей содержания теллурида марганца  $\Delta C_{\text{MnTe}} = 2.5$  мол %, имелись аналогичные образцы. Характеристики исследованных образцов представлены в таблице (указано содержание MnTe в шихте и в контрольных кристалл-

Характеристики исследованных образцов Pb<sub>1-x</sub>Mn<sub>x</sub>Te (In)

№ образца	$C_{\text{In}}, \text{ ат}\%$	$C_{\text{Mn}}, \text{ ат}\%$ (в шихте)	$C_{\text{MnTe}}, \text{ ат}\%$ (по данным анализа)	$n, \text{ см}^{-3}$ (4.2 К)	$\rho, \Omega \cdot \text{см}$ (4.2 К)	$\epsilon_A, \text{ мэВ}$
1	0.5	2	2	$3.7 \cdot 10^{18}$	$7 \cdot 10^{-5}$	—
2	1	5	4.5	$8 \cdot 10^{17}$	$1.3 \cdot 10^{-3}$	—
3	1	5	4	$1.6 \cdot 10^{18}$	$3.8 \cdot 10^{-4}$	—
4	1	5	5	$3.6 \cdot 10^{16}$	$1.1 \cdot 10^{-2}$	—
5	0.5	5	7	—	$1.9 \cdot 10^2$	23
6	0.5	7.5	7	—	$1.2 \cdot 10^2$	21
7	0.5	7.5	8.5	—	$3 \cdot 10^5$	48
8	0.5	10	9.5	—	$> 10^6$	65
9	1	11	11	—	—	180
10	1	11	11	—	—	205
11	1	11	12	—	—	225
12	0	11	11	$3.7 \cdot 10^{18}$	$2.6 \cdot 10^{-3}$	—

лах). Последняя величина рассчитывалась исходя из вычисленного градиента  $\partial C_{\text{MnTe}} / \partial l$  и расстояния  $l$  от носика слитка до вырезанного образца. Суммарная точность определения  $x$  не превышает 0.005.

Все исследованные образцы обладали  $n$ -типов проводимости. Токовые и потенциальные контакты к ним наносились с помощью сплава 95 % In +  $\pm 4$  % Ag + 1 % Au (% весовые). Методики низкотемпературных измерений в условиях экранировки образцов от фонового излучения описаны ранее в работах [2, 9].

## Результаты измерений

Установлено, что введение MnTe в PbTe(In) до  $C_{\text{MnTe}} \sim 5$  мол % приводит к существенному снижению концентрации электронов (см. таблицу) относительно величины  $n = 7 \cdot 10^{18} \text{ см}^{-3}$  (4.2 К) при  $x = 0$  [1]. Подвижность электронов в исследованных образцах составляла  $\sim 10^4 \text{ см}^2/\text{В} \cdot \text{с}$ , и при  $n \geq 10^{17} \text{ см}^{-3}$  наблюдалась осцилляция ШГ, пример записи которых в ориентации поля  $H \parallel \langle 100 \rangle$  приведен на рис. 1. Особенностью осцилляционной кривой для образца 1 является практически полное подавление первой гармоники осцилляций ШГ второй гармоникой, что характерно для PbTe с концентрацией  $n \sim 4 \cdot 10^{18} \text{ см}^{-3}$  и свидетельствует о близости эффективного  $\tilde{g}$ -фактора электронов к значению  $\tilde{g} = 1$ . По периоду осцилляций  $\Delta \rho / \rho_0$  в масштабе  $1/H$  (рис. 1) рассчитывались [2] сечение поверхности Ферми и концентрация электронов. Последняя величина совпадала с данными холловских измерений с точностью  $\sim 20$  %, если при расчетах использовались параметры PbTe. Температурные зависимости удельного сопротивления сплавов с  $x \leq 0.05$  имеют металлический характер (рис. 2).

При  $x > 0.05$  происходит качественное изменение характера проводимости: удельное сопротивление возрастает с понижением  $T$ . В масштабе  $\ln \rho - 1/T$  на температурных зависимостях сопротивления наблюдается протяженный линейный участок (рис. 2). По наклону этого линейного участка рассчитывалась энергия активации  $\epsilon_A$  с использованием формулы

$$\rho \sim \exp(\epsilon_A / 2kT), \quad (1)$$

так же как для сплавов  $Pb_{1-x}Sn_xTe(In)$  [2]. Полученные значения  $\varepsilon_A$  приведены в таблице. Как видно из этих данных, при  $x \sim 0.1$  величина  $\varepsilon_A$  увеличивается до  $\sim 70$  мэВ, т. е. приблизительно на столько же, на сколько снизилась энергия Ферми при  $x \approx 0.05$  по отношению к нелегированному  $PbTe$ . Вместе с тем при  $x > 0.1$  происходит более резкий рост величины  $\varepsilon_A$ , не пропорциональный количеству введенного Mn.

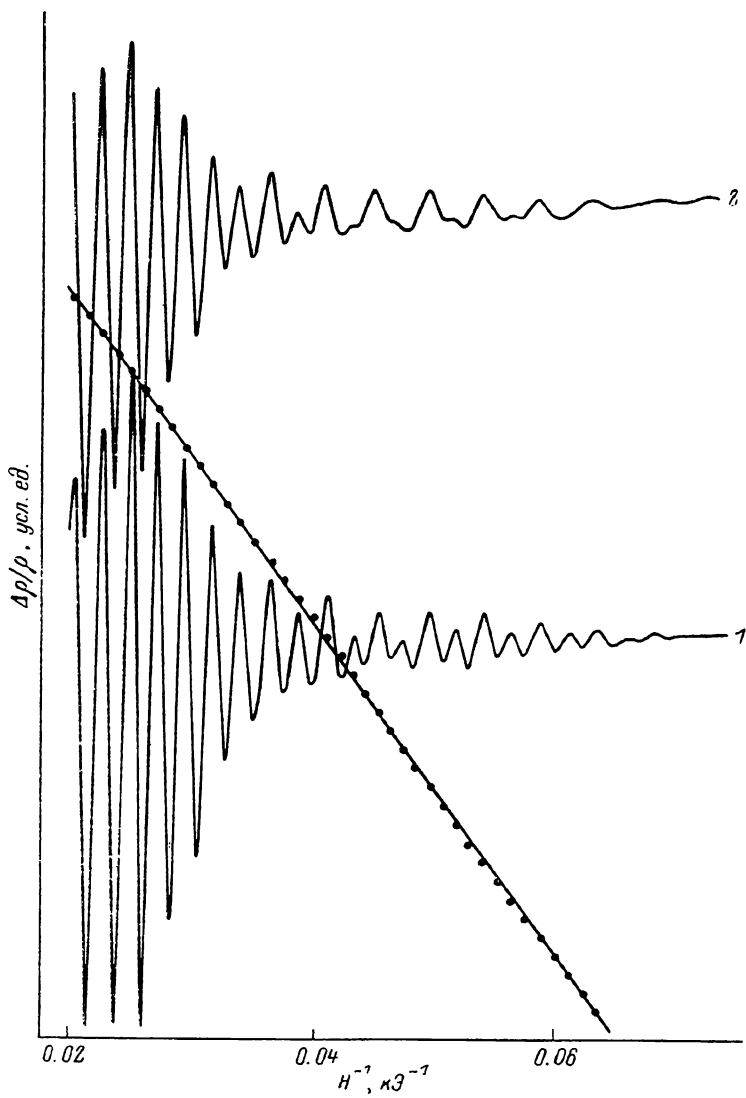


Рис. 1. Вид осцилляций магнитосопротивления для образца 1.

$T, K: 1 - 1.8, 2 - 4.2. H \parallel \langle 100 \rangle$ . Точкиами показана стандартная зависимость условного квантового номера  $N$  осцилляций (положение всех экстремумов осцилляций) от  $1/H$  для кривой 1; по проведенной прямой определялся период осцилляций.

При исследовании фотоэлектрических явлений образец, находящийся в замкнутой металлической камере, при 4.2 К освещался излучением теплового источника, нагреваемого до  $T^* \sim 50 \div 100$  К. Полученные данные показывают, что свойства сплавов  $Pb_{1-x}Mn_xTe$  (In) аналогичны свойствам  $Pb_{1-x}Sn_xTe$  (In) [9]. Кривые  $\ln \rho (1/T)$ , снятые в условиях экранировки и при подсветке, начинают резко различаться между собой при  $T < T_c \approx 20$  К. Температура  $T_c$  не зависит от состава сплава, так же как в  $Pb_{1-x}Sn_xTe$  (In) [9]. При  $T = 4.2$  К,  $T^* = 50$  К сопротивление  $\rho$  падает в  $\sim 2$  раза для образца 2 и в  $\sim 10^6$  раз для образца 8.

Кинетика нарастания и спада проводимости образцов толщиной  $\sim 0.3$  мм при подсветке тепловым источником с температурой  $T^* = 50$  К показана на

рис. 3. Спад ФП при 4.2 К является долговременным. Как установлено, в исследованных образцах наблюдается тенденция к существенному снижению време-

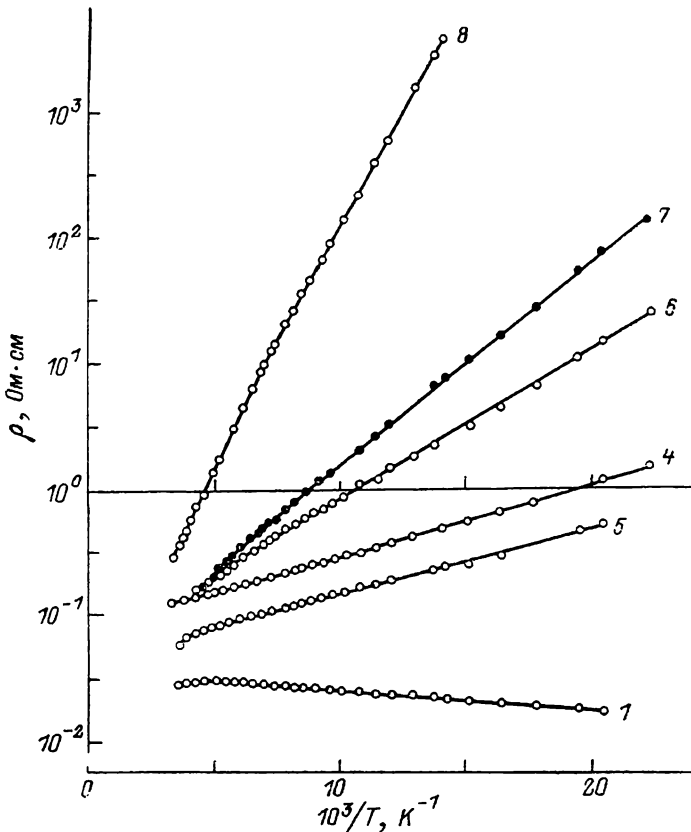


Рис. 2. Температурные зависимости удельного сопротивления сплавов  $\text{Pb}_{1-x}\text{Mn}_x\text{Te}$  (In). Цифры у кривых соответствуют номерам образцов в таблице.

мен релаксации ФП с ростом содержания MnTe. Так, в образцах 1—4 остаточная ФП  $\sigma/\sigma_0$  при 4.2 К уменьшается не более чем на 1 % за 1 ч. Увеличение

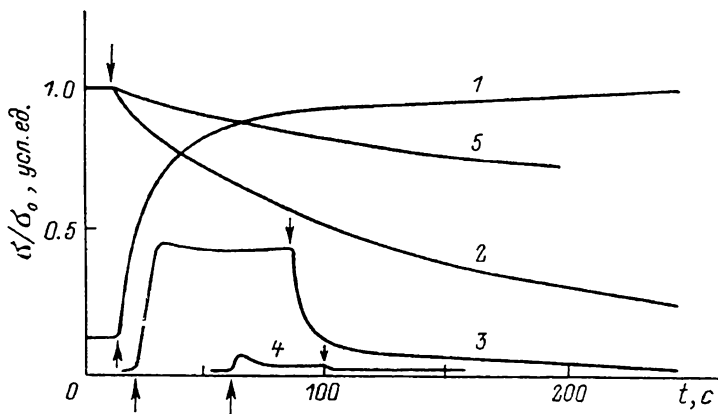


Рис. 3. Кинетика нарастания и спада сигнала ФП  $\sigma/\sigma_0$  для образцов {7 (1—4) и 6 (5)}. Т, К: 1, 2, 5 — 4.2; 3 — 8; 4 — 14; стрелками показаны моменты включения (↑) и выключения (↓) теплового источника подсветки.

температуры релаксации в сплавах с  $C_{\text{MnTe}} \sim 8 \div 10$  мол% прослеживается по рис. 3. В образцах 9—11 измерить темновую проводимость и зарегистрировать ФП

при 4.2 К не удается. При напряжении  $\sim 300$  В на образцах размерами  $0.9 \times 0.7 \times 4$  мм темновой ток не превышает  $10^{-9}$  А в области гелиевых температур. Замена индиевых контактов на платиновые не изменяет ситуацию. По-видимому, при высоком содержании Mn в объеме образца формируются барьеры Шоттки.

## Обсуждение результатов

Прежде всего заметим, что Mn по крайней мере при  $x < 0.02$  входит в решетку PbTe в состоянии  $Mn^{+2}$ , нейтральном относительно подрешетки свинца  $Pb^{+2}$  [4-8], т. е. не является электроактивной примесью. Растворимость MnTe в PbTe составляет  $\sim 30$  мол % при 1170 К и  $\sim 10$  мол % при 770 К. При этом концентрация электронов или дырок не превышает  $\sim 10^{19}$  см $^{-3}$  [5]. Контрольные образцы с  $x \sim 0.11$  без примеси In обладали  $n$ -типов проводимости (см. таблицу) с концентрацией  $n < 5 \cdot 10^{18}$  см $^{-3}$ . Таким образом, можно с уверенностью полагать, что в рассматриваемых образцах концентрация In превышает концентрацию других электроактивных дефектов и выполняется условие стабилизации положения уровня Ферми [1].

Исходя из этого, естественно связать уменьшение концентрации электронов и переход к активационной проводимости с ростом содержания MnTe в сплавах  $Pb_{1-x}Mn_xTe$  (In) с движением уровня  $\epsilon_t$ , стабилизирующего положение  $\epsilon_F$  [1], из зоны проводимости в запрещенную зону. Этот переход сопровождается существенным увеличением щели  $\epsilon_g$  с ростом  $x$  в  $Pb_{1-x}Mn_xTe$ . Величина  $d\epsilon_g/dx$  составляет 48 мэВ/% MnTe по данным работы [6] и 38 мэВ/% Mn Te по данным оптических измерений [7]. Коэффициент  $d\epsilon_g/dT$  не изменяется по отношению к PbTe [6], т. е. при  $x \sim 0.1$  щель  $\epsilon_g$  в исследуемых сплавах при 4.2 К в 3-3.5 раза превышает щель в PbTe. При оценке скорости движения уровня  $\epsilon_t$  по составу  $x$  предполагалось, что при  $x < 0.05$  в металлическом состоянии уровень  $\epsilon_t$  совпадает с  $\epsilon_F$ . В диэлектрическом состоянии энергия  $\epsilon_t$  отождествлялась с величиной  $\epsilon_A$ , так же как в  $Pb_{1-x}Sn_xTe$  (In) [2]. Заметим, что в результате увеличения  $\epsilon_g$  участок примесной проводимости на зависимостях  $\ln \rho(1/T)$  в сплавах  $Pb_{1-x}Mn_xTe$  (In) становится существенно более протяженным в области более высоких  $T$ . Согласно проведенному расчету, уровень  $\epsilon_t$  в  $Pb_{1-x}Mn_xTe$  (In) движется относительно дна зоны проводимости со скоростью  $d\epsilon_t/dx \sim \sim 14$  мэВ/моль% MnTe, что составляет  $\sim \frac{2}{3}$  от величины  $\frac{1}{2}d\epsilon_g/dx$ . Вблизи состава  $x \approx 0.05$  имеет место переход металл-диэлектрик.

При большом содержании Mn ( $x > 0.1$ ) резкое увеличение энергии  $\epsilon_A$  может быть связано с нарастающей неоднородностью образцов и возникновением крупномасштабного потенциального рельефа. Кроме того, как следует из данных работы [5], в указанной области составов происходят также изменения зонной структуры  $Pb_{1-x}Mn_xTe$ : вторая валентная зона располагается по энергии выше зоны легких дырок. Этот вопрос требует дополнительного исследования также в связи с тем, что возникает возможность варьировать в широких пределах энергию активации проводимости и времена релаксации ФП, изменяя состав сплава.

Отсутствие зависимости температуры  $T_c$  появления задержанной ФП в сплавах  $Pb_{1-x}Mn_xTe$  (In) от содержания Mn скорее всего связано с тем, что примесь Mn, как следует из данных работы [7], не меняет заметным образом частоты оптических фононов в решетке, а динамика решетки определяет темп перестройки примесных центров [1].

В заключение остановимся на вопросе о свойствах  $Pb_{1-x}Mn_xTe$  (In) как полумагнитного полупроводника. В отличие от данных работы [4], где изучались сплавы  $Pb_{1-x}Mn_xTe$   $p$ -типа, в исследуемых нами сплавах биения в осцилляциях ШГ не обнаружены. Видно лишь искажение осцилляций в слабых полях при понижении температуры (рис. 1). Такого результата следовало ожидать, если принять во внимание выводы работы [8], где показано, что магнитное взаимодействие для электронов в  $Pb_{1-x}Mn_xTe$  гораздо слабее, чем для дырок. Вместе с тем нам представляется перспективным исследование наиболее однородных сплавов  $Pb_{1-x}Mn_xTe$  (In) с  $x \sim 0.01$  с целью наблюдения изменений спинового

расщепления по осцилляционным эффектам и сплавов с  $x \sim 0.05$  с целью выявления характера движения границ зон в квантующем магнитном поле по вариации энергии активации проводимости.

Авторы благодарят Н. Б. Брандта, Б. А. Волкова, А. В. Сазонова, С. О. Климонского за полезные обсуждения работы.

#### Список литературы

- [1] Кайданов В. И., Равич Ю. И. // УФН. 1985. Т. 145. В. 1. С. 51—86.
- [2] Акимов Б. А., Рябова Л. И., Яценко О. Б., Чудинов С. М. // ФТП. 1979. Т. 13. В. 4. С. 752—759.
- [3] Лебедев А. И., Абдуллин Х. А. // ФТП. 1984. Т. 18. В. 4. С. 624—627.
- [4] Андрианов Д. Г., Белоконь С. А., Климонский С. О., Лакеенков В. М. // ФТП. 1988. Т. 22. В. 4. С. 670—674.
- [5] Korczak Z., Subotowicz M. // Phys. St. Sol. (a). 1983. V. 77. P. 497—503.
- [6] Niewodniczanska-Zawadska J., Szczerbakow A. // Sol. St. Commun. 1980. V. 34. N 11. P. 887—889.
- [7] Nuerwirth J., Jauntsch W., Palmeshofer L., Zulehner W. // J. Phys. C. 1986. V. 19. P. 2475—2484.
- [8] Засавицкий И. И., Сазонов А. В. // ФТТ. 1988. Т. 30. В. 6. С. 1669—1674.
- [9] Акимов Б. А., Брандт Н. Б., Рябова Л. И., Хохлов Д. Р. // Письма ЖЭТФ. 1980. Т. 6. В. 20. С. 1269—1273.

Московский государственный университет  
им. М. В. Ломоносова

Получена 8.09.1988  
Принята к печати 8.02.1989